



Laboratorium EMVO Sp. J. Urbański, Pawelak  
ul. Jasna 1  
00-013 Warszawa

tel. +48 22 780 29 64

e-mail: [laboratorium@emvo.pl](mailto:laboratorium@emvo.pl)



AB 1630

## Sprawozdanie z pomiarów pól elektromagnetycznych - środowisko ogólne nr 8/04/OŚ/2022 – P4



<b>Nr i nazwa stacji</b>	<b>ILA0007A</b>	
<b>Adres</b>	<b>Łława, Jagiellończyka 1, dz. nr 176, pow. łławski, woj. łławsko-mazurskie</b>	
<b>Opracowanie</b>	<b>Martyna Karczmarczyk</b>	<b>Specjalista ds. pomiarów</b>
<b>Autoryzacja</b>	<b>Andrzej Urbański</b>	<b>Kierownik Laboratorium</b>
<b>Podpis</b>		
<b>Data</b>	<b>2022-04-13</b>	

## Spis treści

1. Informacje ogólne.....	3
2. Podstawa prawna. ....	3
3. Opis pomiarów.....	4
4. Zróżnicowanie dopuszczalne poziomy pól elektromagnetycznych.....	5
5. Charakterystyka źródeł PEM.....	5
6. Wyniki pomiarów.....	5
7. Stwierdzenie zgodności .....	7
8. Oświadczenie.....	8
9. Spis załączników. ....	8

## 1. Informacje ogólne.

<b>Zleceniodawca</b>	<b>P4 sp. z o.o.,</b> ul. Wynałazek 1, 02-677 Warszawa osoba udzielająca informacji – Magdalena Sokół
<b>Istotne informacje dostarczone przez klienta</b>	komplet informacji niezbędnych do wykonania pomiarów i opracowania sprawozdania
<b>Dane otrzymane od klienta mogące mieć wpływ na ważność wyników</b>	Dane anten sektorowych, dane anten radioliniowych, parametry pracy instalacji, poprawka pomiarowa, ustawienie pochylenia anten
<b>Prowadzący instalację</b>	P4 sp. z o.o., ul. Wynałazek 1, 02-677 Warszawa
<b>Lokalizacja obiektu</b>	Iława, Jagiellończyka 1, dz. nr 176, pow. iławski, woj. warmińsko-mazurskie
<b>Miejsce instalacji anten</b>	Dach budynku
<b>Miejsce instalacji urządzeń</b>	Outdoor
<b>Osoby wykonujące pomiar</b>	Roman Murawski
<b>Data wykonania pomiaru</b>	13.04.2022
<b>Temperatura na początku pomiaru [°C]</b>	9,0
<b>Temperatura na koniec pomiaru [°C]</b>	9,0
<b>Warunki atmosferyczne</b>	Brak opadów
<b>Wilgotność na początku pomiaru [%]</b>	45,7
<b>Wilgotność na koniec pomiaru [%]</b>	45,7
<b>Godzina na początku pomiaru</b>	8:25
<b>Godzina na koniec pomiaru</b>	10:01
<b>Inne źródła pól elektromagnetycznych oznaczone na załączniku graficznym</b>	Nie występują
<b>Parametry pracy instalacji</b>	Rzeczywisty

## 2. Podstawa prawna.

### 2.1 Normy i rozporządzenia:

- Rozporządzeniem Ministra Klimatu z dnia 17 lutego 2020 r. w sprawie sposobów sprawdzania dotrzymania dopuszczalnych poziomów pól elektromagnetycznych w środowisku (Dz.U. 2020 poz. 258)
- Rozporządzenie Ministra Zdrowia z dnia 17 grudnia 2019 r. w sprawie dopuszczalnych poziomów pól elektromagnetycznych w środowisku (Dz.U. 2019 poz. 2448)
- Obwieszczenie Marszałka Sejmu Rzeczypospolitej Polskiej z dnia 19 lipca 2019 r. w sprawie ogłoszenia jednolitego tekstu ustawy - Prawo ochrony środowiska (Dz.U. 2019 poz. 1396).

### 3. Opis pomiarów

Metodologia pomiarowa	Pomiary w oparciu o Rozporządzeniem Ministra Klimatu z dnia 17 lutego 2020 r. w sprawie sposobów sprawdzania dotrzymania dopuszczalnych poziomów pól elektromagnetycznych w środowisku (Dz.U. 2020 poz. 258).
Cel badań	Określenie wartości natężenia pola elektrycznego w miejscach dostępnych dla ludności.
Opis zestawu pomiarowego	Miernik Narda NBM 550, Sonda EF 9091, o zakresie pomiarowym 0,7 V/m – 300V/m pracująca w paśmie 0,1 – 90 GHz, świadectwo wydane przez Laboratorium Wzorców i Metrologii Pola Elektromagnetycznego, Instytut Telekomunikacji, Teleinformatyki i Akustyki Politechniki Wrocławskiej. Świadectwo ważne do 01.06.2022 r. Miernik Narda NBM 550, Sonda EF 9091 pracująca w zakresie temperatury -10°C - +50°C oraz wilgotności 5% - 95% Niepewność rozszerzona wynosi 58,8% przy poziomie ufności 95% z uwzględnieniem współczynnika rozszerzenia k=2.
Wypożyczenie pomocnicze	Termohigrometr Bestone, typ: GM1362-EN-00, nr identyfikacyjny 1222436, świadectwo wzorcowania z dn. 22.12.2015 r. wydane przez Laboratorium Pomiarowe "MUTECH". Przymiar wstęgowy STABILA, nr identyfikacyjny 5/WL/2016, świadectwo wzorcowania z dn. 06.09.2016 r. wydane przez Zespół Laboratoriów wzorcujących Okręgowego Urzędu Miar w Gdańsku. GPS Garmin 64s okresowo sprawdzany w punktach osnowy geodezyjnej klasy 3 na podstawie licencji punktu, zgodnie z procedurą sprawdzeń okresowych IS/PO-16-11/03.
Pomiary zostały wykonane	<ol style="list-style-type: none"><li>1. na głównych i pomocniczych kierunkach pomiarowych, na kierunkach zbliżonych do azymutów anten oraz w dodatkowych pionach pomiarowych zgodnie z wymaganiami pkt 12, 13, 14 i 19 załącznika do rozporządzenia Ministra Klimatu z dnia 17 lutego 2020 r. (Dz. U. 2020, poz. 258),</li><li>2. na obszarze pomiarowym, dla którego, na podstawie uprzednio wykonanych obliczeń uzyskanych od zleceniodawcy, stwierdzono możliwość występowania pól elektromagnetycznych o poziomach zbliżonych do poziomów dopuszczalnych zgodnie z wymaganiami pkt 5 ppkt 2 oraz pkt 13 ppkt 1 załącznika do rozporządzenia Ministra Klimatu z dnia 17 lutego 2020 r. (Dz. U. 2020, poz. 258). Wyniki obliczeń nie uwzględniały parametrów pracy instalacji innych operatorów występujących na obiekcie bądź w obszarze pomiarowym.</li><li>3. w miejscach dostępnych dla ludności.</li><li>4. miejsca niedostępne podczas wykonywania pomiarów wskazane zostały w pkt 6 (tabeli wyniki pomiarów)</li><li>5. wyniki pomiarów uzyskane zostały przy uwzględnieniu poprawek pomiarowych przekazanych przez zleceniodawcę oraz przy rzeczywistych warunkach pracy instalacji innych operatorów (w przypadku występowania). W takiej sytuacji uwzględniono jednolitą poprawkę pomiarową wynoszącą 1,7.</li></ol>
Szczególne warunki podczas wykonywania pomiarów	Pomiary wykonane zostały podczas obowiązywania w kraju stanu epidemii, zgodnie z art. 122a ust. 1b Ustawy z dnia 27 kwietnia 2001 r. – Prawo ochrony środowiska (Dz. U. z 2019 r. poz. 1396, z późn. zm.9))
Warunki pracy urzędzeń nadawczych	Podczas pomiarów zostały uwzględnione poprawki pomiarowe przekazane przez zleceniodawcę, umożliwiające uwzględnienie maksymalnych parametrów pracy

instalacji zgodnie z pkt 7 załącznika do Rozporządzeniem Ministra Klimatu z dnia 17 lutego 2020 r. w sprawie sposobów sprawdzania dotrzymania dopuszczalnych poziomów pól elektromagnetycznych w środowisku (Dz. U. 2020, poz. 258).

#### 4. Zróżnicowanie dopuszczalne poziomy pól elektromagnetycznych.

Zakresy znajdują się w Dzienniku Ustaw z dnia 17 grudnia 2019 r. przedstawione są w tabeli nr 2 (Dz. U. z 2019r. poz. 2448).

Parametr fizyczny	Składowa elektryczna E (V/m)	Składowa magnetyczna H (A/m)	Gęstość mocy S (W/m <sup>2</sup> )
Zakres Częstotliwości pola elektromagnetycznego			
od 400 MHz do 2000 MHz	$1,375 \times f^{0,5}$	$0,0037 \times f^{0,5}$	f / 200
od 2 GHz do 300 GHz	61	0,16	10

#### 5. Charakterystyka źródeł PEM.

Zgodnie z informacją otrzymaną od Klienta pomiary zostały wykonane przy ustawieniach pochylenia anten zgodnych z pkt. 13, ppkt 2 załącznika do rozporządzenia Ministra Klimatu z dnia 17 lutego 2020 roku.

Tabela 1. Anteny sektorowe - dane otrzymane od klienta

Charakterystyka promieniowania		kierunkowa														
Rzeczywisty czas pracy [h/dobę]		24														
Rodzaj wytwarzanego pola		stacjonarne														
Lp	Wyszczególnienie	sektor 1					sektor 2					sektor 3				
<b>I Nadajnik stacji bazowej:</b>																
1	Typ / Producent	DBS/RBS / Overlay Huawei/Ericsson														
2	Częstotliwość (pasmo) MHz	2600	2100	1800	900	800	2600	2100	1800	900	800	2600	2100	1800	900	800
3	Maksymalna moc nadawana na sektor [dBm]	52,04	52,38	52,38	44,77	46,03	52,04	52,16	52,16	44,77	46,03	52,04	52,16	52,16	44,77	46,03
<b>II Obciążenie:</b>																
1	Typ anteny	Huawei ASI4518R14					Huawei ASI4518R14					Huawei ASI4518R14				
2	Producent anteny	Huawei					Huawei					Huawei				
3	Ilość anten	1					1					1				
4	Azymut	10					115					275				
5	Zakres kątów pochylenia anten [°]	2-5	2-5	2-5	0-5	0-5	2-2	2-2	2-2	0-2	0-2	1-1	1-1	1-1	-1-1	-1-1
6	Średnie pochylenie anten (ustawione do pomiarów PEM) [°]	3,5	3,5	3,5	3,5	3,5	2,0	2,0	2,0	2,0	2,0	1,0	1,0	1,0	1,0	1,0
7	Wysokość zainst. n.p.t. [m]	30,20					30,20					30,20				
8	EIRP [W]	19983					19969					19969				

Tabela 2. Anteny radioliniowe- dane otrzymane od klienta

Charakterystyka promieniowania				kierunkowa			
Rzeczywisty czas pracy [h/dobę]				24			
Rodzaj wytwarzanego pola				stacjonarne			
Lp	Linia radiowa			Antena			
	typ/producent	częstotliwość pracy [GHz]	moc wyjściowa [dBm]	typ/producent	średnica anteny [m]	azymut [°]	wysokość zainstal. [m]
1	OPTIX RTN/HUAWEI	80	18	VHLP1-80/Andrew	0,3	17	28,60
2	OPTIX RTN/HUAWEI	80	18	A80S03/Huawei	0,3	94	28,60

## 6. Wyniki pomiarów.

Wyniki pomiarów pól elektromagnetycznych dla celów ochrony środowiska przedstawia poniższa tabela. Piony pomiarowe zostały przedstawione w zał. 2.

Nr PP	Pole-E [V/m]	Pole-E *kE, +U [V/m]	Pole-H [A/m]	Pole-H *kE +U [A/m]	Wys. pomiaru [m]	Opis pionu	Uwagi	WM <sub>E</sub>	WM <sub>H</sub>
1	0,8	2,16	0,002	0,006	0,3-2,0	N:53°35'54.2" E:19°33'57.8"	otoczenie stacji bazowej - 150m wzdłuż gł. osi promieniowania - GKP	0,077	0,078
2	1,0	2,70	0,003	0,007	0,3-2,0	N:53°35'56.1" E:19°33'58.2"	otoczenie stacji bazowej - 210m wzdłuż gł. osi promieniowania - GKP	0,096	0,098
3	1,2	3,24	0,003	0,009	0,3-2,0	N:53°35'59.1" E:19°33'59.2"	otoczenie stacji bazowej - 302m wzdłuż gł. osi promieniowania - GKP	0,116	0,118
4	2,5	6,75	0,007	0,018	0,3-2,0	N:53°35'48.9" E:19°33'58.8"	otoczenie stacji bazowej - 50m wzdłuż gł. osi promieniowania - GKP	0,241	0,245
5	1,4	3,78	0,004	0,010	0,3-2,0	N:53°35'48.1" E:19°34'01.5"	otoczenie stacji bazowej - 100m wzdłuż gł. osi promieniowania - GKP	0,135	0,137
6	0,9	2,43	0,002	0,006	0,3-2,0	N:53°35'47.0" E:19°34'06.1"	otoczenie stacji bazowej - 200m wzdłuż gł. osi promieniowania - GKP	0,087	0,088
7	0,8	2,16	0,002	0,006	0,3-2,0	N:53°35'46.2" E:19°34'08.4"	otoczenie stacji bazowej - 250m wzdłuż gł. osi promieniowania - GKP	0,077	0,078
8	0,7*	2,16	0,002	0,006	0,3-2,0	N:53°35'45.5" E:19°34'10.9"	otoczenie stacji bazowej - 302m wzdłuż gł. osi promieniowania - GKP	0,077	0,078
9	0,7*	2,16	0,002	0,006	0,3-2,0	N:53°35'49.9" E:19°33'50.5"	otoczenie stacji bazowej - 100m wzdłuż gł. osi promieniowania - GKP	0,077	0,078
10	1,1	2,97	0,003	0,008	0,3-2,0	N:53°35'49.8" E:19°33'47.8"	otoczenie stacji bazowej - 150m wzdłuż gł. osi promieniowania - GKP	0,106	0,108
11	0,7*	2,16	0,002	0,006	0,3-2,0	N:53°35'49.9" E:19°33'45.0"	otoczenie stacji bazowej - 200m wzdłuż gł. osi promieniowania - GKP	0,077	0,078
12	0,7*	2,16	0,002	0,006	0,3-2,0	N:53°35'50.1" E:19°33'42.3"	otoczenie stacji bazowej - 250m wzdłuż gł. osi promieniowania - GKP	0,077	0,078
13	0,7*	2,16	0,002	0,006	0,3-2,0	N:53°35'50.4" E:19°33'40.2"	otoczenie stacji bazowej - 302m wzdłuż gł. osi promieniowania - GKP	0,077	0,078
14	1,5	4,05	0,004	0,011	0,3-2,0	N:53°35'50.8" E:19°33'57.3"	otoczenie stacji bazowej - 50m wzdłuż gł. osi promieniowania - GKP	0,145	0,147
15	2,0	5,40	0,005	0,014	0,3-2,0	N:53°35'49.1" E:19°33'58.9"	otoczenie stacji bazowej - 50m wzdłuż gł. osi promieniowania - GKP	0,193	0,196
16	1,1	2,97	0,003	0,008	0,3-2,0	N:53°35'52.4" E:19°33'58.1"	otoczenie stacji bazowej - GKP	0,106	0,108
17	1,3	3,51	0,003	0,009	0,3-2,0	N:53°35'50.0" E:19°33'57.5"	otoczenie stacji bazowej - PKP	0,125	0,128
18	0,8	2,16	0,002	0,006	0,3-2,0	N:53°35'48.4" E:19°33'57.3"	otoczenie stacji bazowej - GKP	0,077	0,078
19	0,7*	2,16	0,002	0,006	0,3-2,0	N:53°35'47.6" E:19°33'54.1"	otoczenie stacji bazowej - GKP	0,077	0,078
20	0,7*	2,16	0,002	0,006	0,3-2,0	N:53°35'48.4" E:19°33'50.4"	otoczenie stacji bazowej - GKP	0,077	0,078

21	1,1	2,97	0,003	0,008	0,3-2,0	N:53°35'50.8" E:19°33'51.1"	otoczenie stacji bazowej - GKP	0,106	0,108
22	1,4	3,78	0,004	0,010	0,3-2,0	N:53°35'50.8" E:19°33'55.3"	otoczenie stacji bazowej - GKP	0,135	0,137
23	0,8	2,16	0,002	0,006	0,3-2,0	N:53°35'51.9" E:19°33'56.0"	otoczenie stacji bazowej - GKP	0,077	0,078
A	1,7	4,59	0,005	0,012	0,3-2,0	N:53°35'49.9" E:19°33'56.9"	Jagiellończyka 1, pomiar przed budynkiem -DPP	0,164	0,167
B	1,1	2,97	0,003	0,008	0,3-2,0	N:53°35'49.8" E:19°33'53.9"	Niepodległości 6a/6b/6c/6d/6e/6f/6g, pomiar przed budynkiem -DPP	0,106	0,108
C	1,6	4,32	0,004	0,011	0,3-2,0	N:53°35'49.4" E:19°33'55.4"	Niepodległości 4a, pomiar przed budynkiem -DPP	0,154	0,157
D	0,9	2,43	0,002	0,006	0,3-2,0	N:53°35'48.1" E:19°33'53.8"	Niepodległości 4, pomiar przed budynkiem -DPP	0,087	0,088
E	0,7*	2,16	0,002	0,006	0,3-2,0	N:53°35'47.8" E:19°33'56.4"	Niepodległości 2, pomiar przed budynkiem -DPP	0,077	0,078
F	0,7*	2,16	0,002	0,006	0,3-2,0	N:53°35'48.5" E:19°33'51.8"	Niepodległości 6, pomiar przed budynkiem -DPP	0,077	0,078
G	0,7*	2,16	0,002	0,006	0,3-2,0	N:53°35'49.2" E:19°33'49.7"	Niepodległości 8, pomiar przed budynkiem -DPP	0,077	0,078
H	1,1	2,97	0,003	0,008	0,3-2,0	N:53°35'49.6" E:19°33'47.0"	Niepodległości 10, pomiar przed budynkiem -DPP	0,106	0,108
I	0,7*	2,16	0,002	0,006	0,3-2,0	N:53°35'49.7" E:19°33'44.6"	Niepodległości 7/9, pomiar przed budynkiem -DPP	0,077	0,078
J	0,7*	2,16	0,002	0,006	0,3-2,0	N:53°35'50.4" E:19°33'41.9"	Niepodległości 13, pomiar przed budynkiem -DPP	0,077	0,078
K	1,1	2,97	0,003	0,008	0,3-2,0	N:53°35'47.2" E:19°33'57.4"	Kościuszki 1, pomiar przed budynkiem -DPP	0,106	0,108
L	0,7*	2,16	0,002	0,006	0,3-2,0	N:53°35'46.9" E:19°33'59.7"	Kościuszki 3, pomiar przed budynkiem -DPP	0,077	0,078
M	1,6	4,32	0,004	0,011	0,3-2,0	N:53°35'49.4" E:19°33'57.2"	Jagiellończyka 4, pomiar przed budynkiem -DPP	0,154	0,157
N	0,7*	2,16	0,002	0,006	0,3-2,0	N:53°35'49.6" E:19°33'58.7"	Jagiellończyka 6a/8a, pomiar przed budynkiem -DPP	0,077	0,078
O	1,5	4,05	0,004	0,011	0,3-2,0	N:53°35'48.9" E:19°33'57.5"	Jagiellończyka 6, pomiar przed budynkiem -DPP	0,145	0,147
P	1,4	3,78	0,004	0,010	0,3-2,0	N:53°35'50.5" E:19°33'57.7"	Jagiellończyka 8, pomiar przed budynkiem -DPP	0,135	0,137
R	1,9	5,13	0,005	0,014	0,3-2,0	N:53°35'50.9" E:19°33'57.7"	Jagiellończyka 10, pomiar przed budynkiem -DPP	0,183	0,186
S	2,1	5,67	0,006	0,015	0,3-2,0	N:53°35'51.7" E:19°33'58.1"	Jagiellończyka 12, pomiar przed budynkiem -DPP	0,202	0,206
T	1,6	4,32	0,004	0,011	0,3-2,0	N:53°35'52.2" E:19°33'58.1"	Jagiellończyka 14, pomiar przed budynkiem -DPP	0,154	0,157
U	2,4	6,48	0,006	0,017	0,3-2,0	N:53°35'52.7" E:19°33'57.8"	Jagiellończyka 5, pomiar przed budynkiem -DPP	0,231	0,235
W	2,0	5,40	0,005	0,014	0,3-2,0	N:53°35'54.8" E:19°33'58.6"	Jagiellończyka 7, pomiar przed budynkiem -DPP	0,193	0,196
V	1,0	2,70	0,003	0,007	0,3-2,0	N:53°35'55.7" E:19°33'58.5"	Jagiellończyka 7a, pomiar przed budynkiem -DPP	0,096	0,098
X	1,2	3,24	0,003	0,009	0,3-2,0	N:53°35'48.2" E:19°34'02.5"	Budynek bez adresu, pomiar przed budynkiem -DPP	0,116	0,118
Y	0,7*	2,16	0,002	0,006	0,3-2,0	N:53°35'48.1" E:19°34'03.6"	Kościuszki 9a, pomiar przed budynkiem -DPP	0,077	0,078
Z	0,7*	2,16	0,002	0,006	0,3-2,0	N:53°35'45.8" E:19°34'07.6"	Kościuszki 15a, pomiar przed budynkiem -DPP	0,077	0,078
A1	0,9	2,43	0,002	0,006	0,3-2,0	N:53°35'46.7" E:19°34'08.2"	Szeptyckiego 13, pomiar przed budynkiem -DPP	0,087	0,088
B1	0,7*	2,16	0,002	0,006	0,3-2,0	N:53°35'45.5" E:19°34'10.4"	Kościuszki 19a, pomiar przed budynkiem -DPP	0,077	0,078
C1	1,1	2,97	0,003	0,008	0,3-2,0	N:53°35'51.2" E:19°33'57.7"	Jagiellończyka 3, pomiar przed budynkiem -DPP	0,106	0,108

Wynik pomiaru pole - E [V/m] - maksymalna wartość chwilowa zmierzona w danym pionie pomiarowym (uśredniona na podstawie punktu 11 Załącznika do Rozporządzenia Ministra Zdrowia).

„Bez pisemnej zgody Laboratorium niniejsze sprawozdanie nie może być powielane inaczej, jak tylko w całości. Ponadto wyniki dotyczą tylko badanych obiektów przywołanych w niniejszym sprawozdaniu z badań”

Przyjęto najniższą dopuszczalną wartość składowej elektrycznej pola dla objętego pomiarami zakresu częstotliwości  $\min(ME_{gr})= 28 \text{ V/m}$  oraz składowej magnetycznej  $\min(MH_{gr})= 0,073 \text{ A/m}$ .

\* - wartość zmierzona poniżej zakresu akredytacji. Do obliczeń przyjęto wartość zgodną z dolną granicą akredytowanego zakresu pomiarowego metody.

GKP - główne kierunki pomiarowe

PKP - pomocnicze kierunki pomiarowe

DPP - dodatkowe punkty pomiarowe

PP - pion pomiarowy

U - niepewność pomiarowa rozszerzona, przy poziomie ufności 95%, z uwzględnieniem współczynnika rozszerzenia  $k=2$

kE - poprawka pomiarowa badanej instalacji radiokomunikacyjnej podana przez operatora ( $kE=1,7$ ), poprawka pomiarowa w przypadku oddziaływania innych instalacji radiokomunikacyjnych na badany obszar ( $kE=2,0$ )

WM<sub>E</sub> - wartość wskaźnikowa poziomu emisji pól elektromagnetycznych dla miejsc dostępnych dla ludności dla składowej elektrycznej pola

WM<sub>H</sub> - wartość wskaźnikowa poziomu emisji pól elektromagnetycznych dla miejsc dostępnych dla ludności dla składowej magnetycznej pola

## 7. Stwierdzenie zgodności

Na podstawie wytycznych podanych w Rozporządzeniu Ministra Zdrowia z dnia 17 grudnia 2019 r. w sprawie dopuszczalnych poziomów pól elektromagnetycznych w środowisku (Dz.U. 2019 poz. 2448) oraz sposobów sprawdzania dotrzymania tych poziomów zgodnie z Rozporządzeniem Ministra Klimatu z dnia 17 lutego 2020 r. w sprawie sposobów sprawdzania dotrzymania dopuszczalnych poziomów pól elektromagnetycznych w środowisku (Dz.U. 2020 poz. 258) dotyczących źródła wymagań, które muszą być spełnione (załącznik do rozporządzenia Ministra Klimatu z dnia 17 lutego 2020 r. (poz. 258)), w oparciu o zasadę podejmowania decyzji zgodną z pkt 26 załącznika do rozporządzenia Ministra Klimatu z dnia 17 lutego 2020 r. (poz. 258), na podstawie wyników pomiarów pól elektromagnetycznych wykonanych w dniu 13.04.2022 stwierdzono, iż w miejscach dostępnych dla ludności, dopuszczalne poziomy pól elektromagnetycznych w środowisku, określone w przepisach wydanych na podstawie art. 122 ust. 1 ustawy z dnia 27 kwietnia 2001 r. – Prawo ochrony środowiska, uznaje się za dotrzymane w obszarze pomiarowym, w którym w wyniku zastosowania sposobu sprawdzenia dotrzymania dopuszczalnych poziomów pól elektromagnetycznych w środowisku, udokumentowano, że żadna z wartości wskaźnikowych nie przekracza wartości 1.

## 8. Oświadczenie.

Wyniki badania odnoszą się wyłącznie do badanego obiektu.

Bez pisemnej zgody sprawozdanie nie może być powielane inaczej, jak tylko w całości.

Uwagi i zastrzeżenia przyjmowane są w formie pisemnej w ciągu 14 dni od daty otrzymania sprawozdania.

## 9. Spis załączników.

Zał. 1. Lokalizacja obiektu.

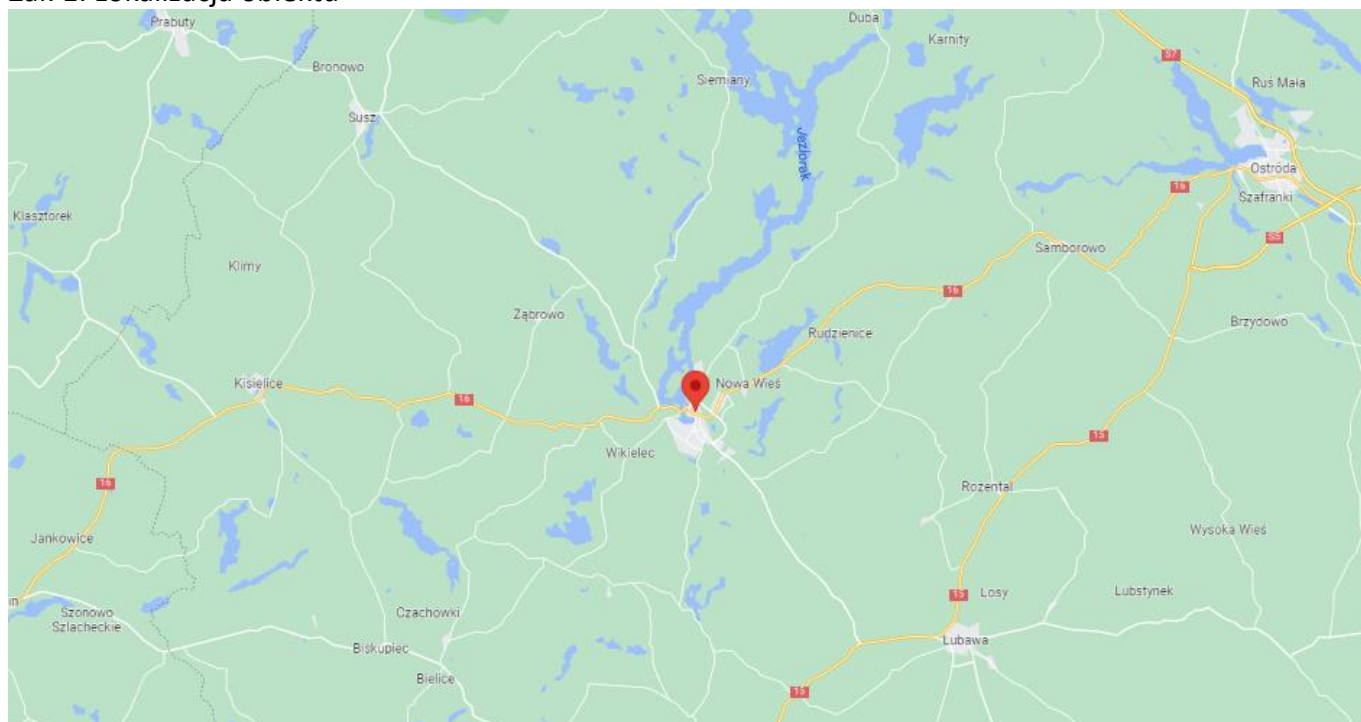
Zał. 2. Widok pionów pomiarowych

Zał. 3. Załączniki graficzne

**Koniec sprawozdania**



## Załącznik 1. Lokalizacja obiektu

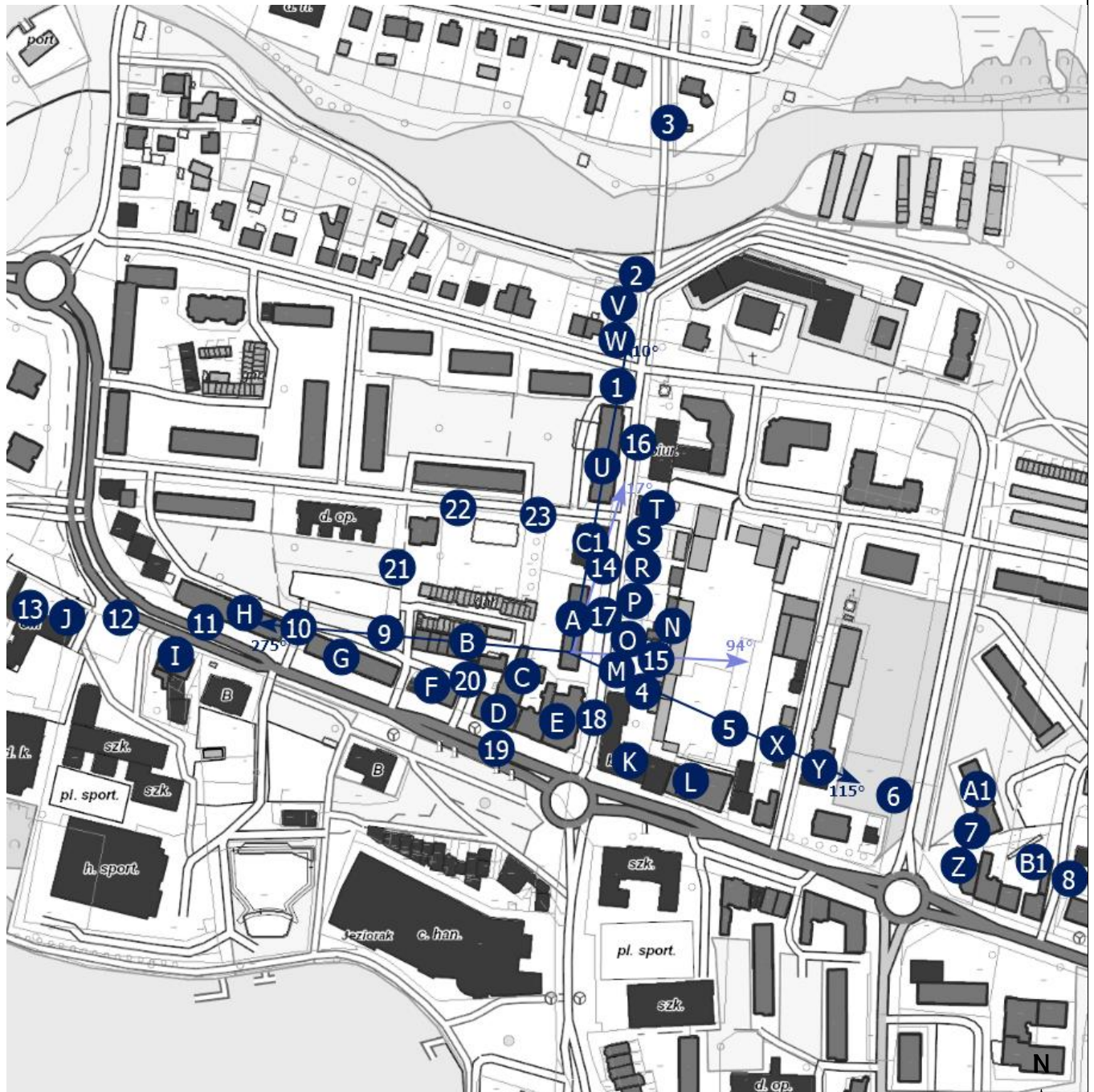


### Współrzędne geograficzne

długość: 19°33'56.60"E

szerokość: 53°35'49.73"N

Zał. 2. Widok pionów pomiarowych



LEGENDA:

inna instalacja radiokomunikacyjna

Odległość, do której zostały wykonane pomiary mierząc od instalacji antenowej wynosi min.: 302 metrów.

brak dostępu

pion pomiarowy z poprawką pomiarową (brak innych instalacji radiokomunikacyjnych)

pion pomiarowy z poprawką pomiarową (w zasięgu innych instalacji radiokomunikacyjnych)

antena sektorowa

antena radioliniowa

Skala: 1:4200



„Bez pisemnej zgody Laboratorium niniejsze sprawozdanie nie może być powielane inaczej, jak tylko w całości. Ponadto wyniki dotyczą tylko badanych obiektów przywołanych w niniejszym sprawozdaniu z badań”

### Załącznik 3. Załączniki graficzne.

